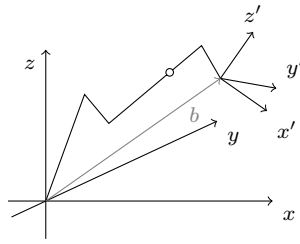


# Kapitel 4

## Kinematik



Bewegungen und Zustände eines (idealisierten) Roboterarmes werden durch abstandserhaltende Transformationen, das heißt Isometrien des  $\mathbb{R}^3$ , beschrieben. Jede solche Transformation ist von der Gestalt

$$\mathbb{R}^3 \ni x \mapsto Ax + b$$

mit  $A \in O(3)$  und  $b \in \mathbb{R}^3$ , wobei  $O(3) = \{A \in \mathbb{R}^{3 \times 3} \mid A^T A = \text{id}_{\mathbb{R}^3}\}$  die Menge der skalarprodukterhaltenden linearen Abbildungen bezeichnet, die orthogonale Gruppe. Die Hintereinanderausführung

$$A'(Ax + b) + b' = A'Ax + A'b + b'$$

ist wieder eine Isometrie des  $\mathbb{R}^3$ . Die Gruppe  $E(3)$  der euklidischen Bewegungen ist das semidirekte Produkt  $E(3) = O(3) \ltimes \mathbb{R}^3$  mit der Multiplikation

$$(A', b')(A, b) = (AA', A'b + b').$$

Die orthogonale Gruppe  $O(3)$  besitzt zwei Zusammenhangskomponenten, die orientierungserhaltenden Drehungen mit Determinante 1, also die Spezielle Orthogonale Gruppe oder Drehgruppe  $SO(3)$ , und die (Dreh-)Spiegelungen. Da mechanisch keine Spiegelung realisierbar ist, betrachtet man nur die orientierungserhaltenden euklidischen Bewegungen  $SE(3) = SO(3) \ltimes \mathbb{R}^3$ .

Zur Vereinfachung der Notation betrachtet man die 4-dimensional Darstellung

$$SE(3) \hookrightarrow GL_4(\mathbb{R}) \quad (A, b) \mapsto \left( \begin{array}{c|c} A & b \\ \hline 0 & 1 \end{array} \right).$$

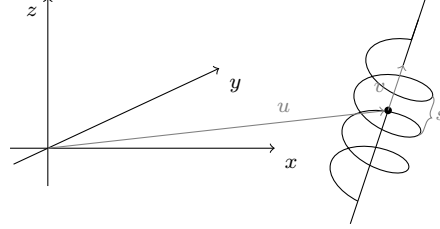
Tatsächlich gilt

$$\left( \begin{array}{c|c} A' & b' \\ \hline 0 & 1 \end{array} \right) \left( \begin{array}{c|c} A & b \\ \hline 0 & 1 \end{array} \right) = \left( \begin{array}{c|c} AA' & A'b + b' \\ \hline 0 & 1 \end{array} \right)$$

mit Inversem

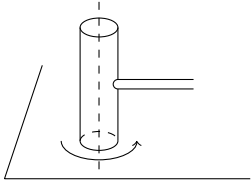
$$\left( \begin{array}{c|c} A & b \\ \hline 0 & 1 \end{array} \right)^{-1} = \left( \begin{array}{c|c} A^T & -A^T b \\ \hline 0 & 1 \end{array} \right).$$

Nach einem Satz von Chasles (1832):



Jede euklidische Bewegung kann als „Schraubbewegung“ aufgefasst werden: Für alle  $\begin{pmatrix} A & b \\ 0 & 1 \end{pmatrix} \in \text{SE}(3)$  existieren eine Richtung  $v \in \mathbb{S}^2 \subset \mathbb{R}^3$ , ein Drehwinkel  $\vartheta$ , eine Steigung  $s \in \mathbb{R}$  und ein Translationsvektor  $u \in \mathbb{R}^3$ .

$$\begin{pmatrix} A & b \\ 0 & 1 \end{pmatrix} = \begin{pmatrix} \text{id} & u \\ 0 & 1 \end{pmatrix} \underbrace{\begin{pmatrix} R(\vartheta, v) & \frac{\vartheta}{2\pi} s v \\ 0 & 1 \end{pmatrix}}_{\text{„Schraube“ mit Achse } R \cdot v \text{ und Steigung } s} \begin{pmatrix} \text{id} & -u \\ 0 & 1 \end{pmatrix} = \begin{pmatrix} R & \frac{\vartheta}{2\pi} s v + (\text{id} - R)u \\ 0 & 1 \end{pmatrix}$$



Bestimmte Roboterarme, beziehungsweise Teile davon, können im Allgemeinen nur bestimmte Bewegungen ausführen, zum Beispiel lässt ein Drehgelenk keine translationen aus  $\text{SE}(3)$  zu. Der Konfigurationsraum dieses Drehgelenkes ist anschaulich  $\mathbb{S}^1 = \text{SO}(2) < \text{SE}(3)$ . Es stellt sich also die Frage nach den Untergruppen von  $\text{SE}(3)$ : Ist  $G$  eine Untergruppe von  $\text{SE}(3) = \text{SO}(3) \times \mathbb{R}^3$ , so ist auch  $G \cap \mathbb{R}^3 = (\{1\} \times \mathbb{R}^3)$  eine Untergruppe von  $\mathbb{R}^3$ , also  $0, \mathbb{R}, \mathbb{R}^2, \mathbb{R}^3, r\mathbb{Z}, r\mathbb{Z} \times \mathbb{R}, r\mathbb{Z} \times \mathbb{R}^2, r\mathbb{Z} \times s\mathbb{Z}, r\mathbb{Z} \times s\mathbb{Z} \times \mathbb{R}$  und  $r\mathbb{Z} \times s\mathbb{Z} \times t\mathbb{Z}$ . Wegen

$$\begin{pmatrix} A & b \\ 0 & 1 \end{pmatrix} \begin{pmatrix} \text{id} & t \\ 0 & 1 \end{pmatrix} \begin{pmatrix} A^T & -A^T t \\ 0 & 1 \end{pmatrix} = \begin{pmatrix} \text{id} & A(-A^T b + t) + b \\ 0 & 1 \end{pmatrix} = \begin{pmatrix} \text{id} & At \\ 0 & 1 \end{pmatrix} \text{ „} \in \mathbb{R}^3 \text{“}$$

ist  $\mathbb{R}^3$  ein Normalteiler in  $\text{SE}(3)$ , das heißt die Projektion  $\text{SE}(3) \rightarrow \text{SE}(3)/\mathbb{R}^3 \cong \text{SO}(3)$  ist eine Gruppenhomomorphismus und jede Untergruppe  $G < \text{SE}(3)$  projiziert auf eine Untergruppe in  $\text{SO}(3)$ , also  $\text{SO}(3), \text{SO}(2)$  oder  $\{1\}$ . Welche „Bausteine“ ergeben Untergruppen von  $\text{SE}(3)$ ? Genau jene, für welche der „Faktor“ in  $\mathbb{R}^3$  normal in der Untergruppe liegt.

$G/\mathbb{R}^3 \cong \text{SO}(3)$ : •  $G \cap \mathbb{R}^3 = \{0\}$

- $G \cap \mathbb{R}^3 = \mathbb{R}^3$ , denn  $\text{SO}(3)$  ist transitiv auf  $S^2$ .

$G/\mathbb{R}^3 \cong \text{SO}(2)$ : •  $G \cap \mathbb{R}^3 = \{0\} \Rightarrow G \cong \text{SO}(2)$

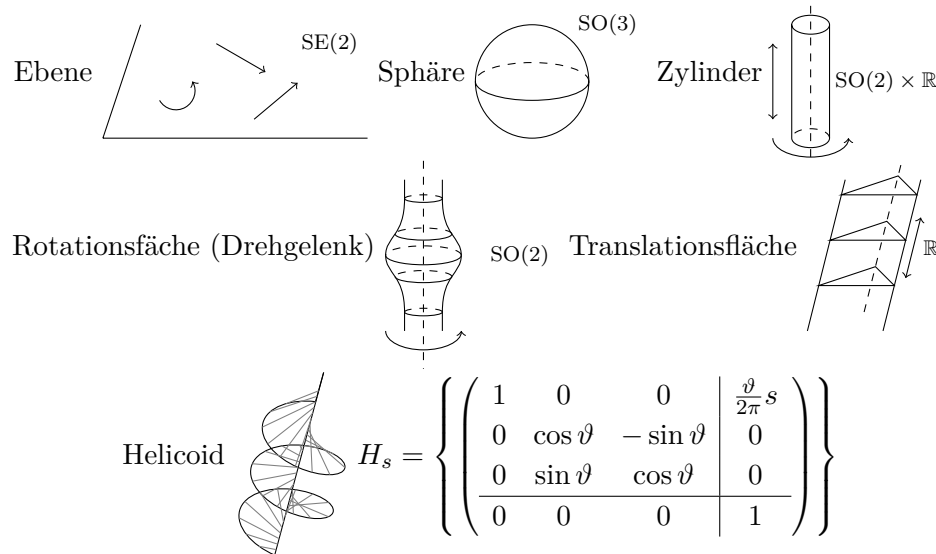
- $G \cap \mathbb{R}^3 = \mathbb{R}^3, G \cong \text{SO}(2) \times \mathbb{R}^3 = \text{SE}(2) \times \mathbb{R}$
- $G \cap \mathbb{R}^2 = \mathbb{R}^3, G \cong \text{SO}(2) \times \mathbb{R}^2 = \text{SE}(2)$
- $G \cap \mathbb{R} = \mathbb{R}^3, G \cong \text{SO}(2) \times \mathbb{R}$
- $G \cap \mathbb{R}^3 = s\mathbb{Z}$

$$G = \left\{ \begin{pmatrix} 1 & 0 & 0 & \frac{\vartheta}{2\pi} s \\ 0 & \cos \vartheta & -\sin \vartheta & 0 \\ 0 & \sin \vartheta & \cos \vartheta & 0 \\ 0 & 0 & 0 & 1 \end{pmatrix} \right\} = H_s \cong \mathbb{R}$$

- „Schraube“ durch die  $x$ -Achse mit Steigung  $s \in \mathbb{R}$ . Alle diese  $H_s$  sind *nicht* zu  $\mathbb{R} \hookrightarrow \text{SE}(3)$  konjugiert.
- $G \cap \mathbb{R}^3 = s\mathbb{Z} \times \mathbb{R}^2 \Rightarrow G = H_s \times \mathbb{R}^2$

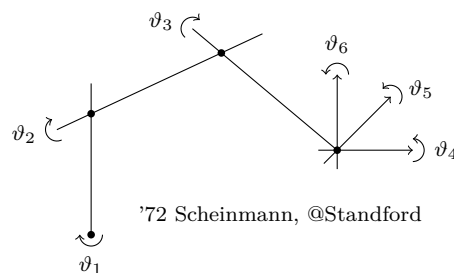
## Reuleux-Paare (1875)

Bewegungen, welche durch das gegeneinander Verschieben oder Verdrehen zweier gleicher Flächen(-stücke) im  $\mathbb{R}^3$  entstehen. Diese entsprechen den Orbits von ein- und zweidimensionalen Untergruppen von  $\text{SE}(3)$ .



## 1 Vorwärtstransformation

Wie berechnet man zu gegebenen Winkeln, beziehungsweise Translationen, die Endpositionen eines Roboters? Man kann sich diese Frage etwa am PUMA (Programmable Universal Machine for Assembly) veranschaulichen:



Jedes Gelenk bestimmt eine Ein-Paramter-Untergruppe in  $\text{SE}(3)$ ,  $\vartheta \mapsto A_i(\vartheta)$ , wobei  $A_i(\vartheta)$  eine Schraube in obigem Sinne ist, zum Beispiel

$$A_i(\vartheta) = \begin{pmatrix} \text{id} & u \\ 0 & 1 \end{pmatrix} \begin{pmatrix} 1 & 0 & 0 & | & 0 \\ 0 & \cos \vartheta & -\sin \vartheta & | & 0 \\ 0 & \sin \vartheta & \cos \vartheta & | & 0 \\ \hline 0 & 0 & 0 & | & 1 \end{pmatrix} \begin{pmatrix} \text{id} & -u \\ 0 & 1 \end{pmatrix}$$

oder

$$A_i(\vartheta) = \left( \begin{array}{c|c} \text{id} & \frac{\vartheta s}{2\pi} \cdot v \\ \hline 0 & 1 \end{array} \right)$$

für eine Translation in Richtung  $v$ . Nach Wahl einer Ausgangsposition des Roboters, welche den Winkeln  $\vartheta_1 = \vartheta_2 = \dots = \vartheta_k = 0$  entspricht, erhält man die Endposition, beziehungsweise die **Gestalt**, durch Anwenden der Transformation  $\vartheta = (\vartheta_1, \dots, \vartheta_k)$ .

$$K(\vartheta) = A_1(\vartheta_1)A_2(\vartheta_2) \dots A_k(\vartheta_k) \quad \mathbb{T}^k \rightarrow \text{SE}(3)$$

Es bleiben immer noch einige Fragen offen:

- Geschwindigkeiten, Beschleunigungen, etc.
- Effizienz
- Umkehrbarkeit der Abbildung
- Geometrie, insbesondere in singulären Punkten

## 2 Linarisierung (d.h. Tangentialräume)

Die Geschwindigkeit eines Werkzeugs ist gegeben durch die erste Ableitung (nach der Zeit) des Positionvektors  $p(t)$  des Roboterarmes. Es gilt  $p(t) = K(\vartheta_t)p_0$ . Da jede Gestalt durch eine Transformation  $g = K(\vartheta)$  beschrieben ist, genügt es, die durch Wege  $t \mapsto g_t(gp_0)$ , mit  $g_0 = \text{id}$ , zu beschreiben. Dann gilt

$$\dot{p}(t) = \dot{g}_t(gp_0).$$

Die Gruppe  $\text{SE}(3) = \text{so}(3) \times \mathbb{R}^3$  ist eine Lie-Gruppe, das heißt eine Glatte Mannigfaltigkeit und die Gruppenoperationen sind glatt bezüglich dieser differenzierbaren Struktur.

Als Untermannigfaltigkeit von  $\text{GL}(3)$  ist  $\text{SO}(3)$  durch die Gleichung  $A^T A = \text{id}$  bestimmt. Ist  $g_t = A(t)$  ein glatter Weg durch  $\text{id} \in \text{SO}(3)$ , so gilt

$$0 = \frac{d}{dt} \Big|_{t=0} \text{id} = \frac{d}{dt} \Big|_{t=0} (A(t)^T A(t)) = A'(0)^T \underbrace{A(0)}_{=\text{id}} + \underbrace{A(0)^T}_{=\text{id}} A'(0) = A'(0)^T + A'(0).$$

Also gilt  $A'(0) = -A'(0)^T$ , das heißt der Tangentialraum in 1 von  $\text{SO}(3)$ ,  $T_1 \text{SO}(3) = \text{so}(3)$ , besteht aus schiefsymmetrischen Matrizen. Ist  $g_t = \begin{pmatrix} A_t & b_t \\ 0 & 1 \end{pmatrix}$  ein glatter Weg in  $\text{SE}(3)$  mit  $g_0 = \text{id}_{\mathbb{R}^4}$ , das heißt  $A_0 = \text{id}$ ,  $b_0 = 0$ , dann gilt

$$g'_0 = \left( \begin{array}{c|c} A'_0 & b'_0 \\ \hline 0 & 0 \end{array} \right) = \left( \begin{array}{c|c} \Omega & v \\ \hline 0 & 0 \end{array} \right),$$

wobei

$$\Omega = \begin{pmatrix} 0 & -\omega_z & \omega_y \\ \omega_z & 0 & -\omega_x \\ -\omega_y & \omega_x & 0 \end{pmatrix}$$

eine schiefe Matrix ist und  $v \in \mathbb{R}^3$ . Für einen durch  $x_t = g_t \cdot x_0$  parametrisierten Weg in  $\mathbb{R}^3$  gilt dann

$$\dot{x}_0 = \Omega x_0 + v = \omega \times x_0 + v,$$

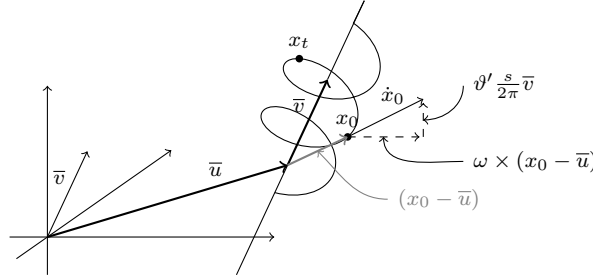
wobei  $\omega = (\omega_x, \omega_y, \omega_z)^T$ . Ist  $g_t$  eine Schraubbewegung, das heißt existieren  $\bar{u}, \bar{v} \in \mathbb{R}^3$  und  $s \in \mathbb{R}$  mit

$$g_t = \left( \begin{array}{c|c} R(\vartheta_t, \bar{v}) & \frac{\vartheta_t s}{2\pi} \bar{v} + (\text{id} - R(\vartheta_t, \bar{v})) \\ \hline 0 & 1 \end{array} \right),$$

so gilt

$$\begin{aligned} \Omega &= \frac{d}{dt} \Big|_{t=0} (R(\vartheta_t, \bar{v})) = \begin{pmatrix} 0 & -\omega_z & \omega_y \\ \omega_z & 0 & -\omega_x \\ -\omega_y & \omega_x & 0 \end{pmatrix} \\ v &= \frac{d}{dt} \Big|_{t=0} \left( \frac{\vartheta_t s}{2\pi} \bar{v} + (\text{id} \cdot R_t) \bar{u} \right) = \vartheta'_0 \cdot \frac{s}{2\pi} \bar{v} - \Omega \bar{u} \\ \dot{x}_0 &= \Omega x_0 + \vartheta'_0 \frac{s}{2\pi} \bar{v} - \Omega \bar{u} = \underbrace{\omega \times (x_0 - \bar{u})}_{\text{Rotationsgeschwindigkeit}} + \underbrace{\vartheta'_0 \frac{s}{2\pi} \bar{v}}_{\text{„Vortrieb“ der Schraube}} \end{aligned}$$

wobei  $\omega$  die Winkelgeschwindigkeit ist.



### 3 Adjungierte Darstellung

Im Allgemeinen ist

$$\text{Ad} : G \rightarrow \text{Aut}(\mathfrak{g}) \quad \text{Ad}(g) : (h \mapsto ghg^{-1})_{*e} : T_e G \cong \mathfrak{g} \rightarrow T_e G = \mathfrak{g}.$$

Für die Gruppe  $\text{SO}(3)$ , beziehungsweise die Lie-Algebra  $\mathfrak{so}(3)$ , ist die Konjugation von Metriken gegeben durch

$$\Omega' = \text{Ad}(R)\Omega = R\Omega R^T.$$

Für  $\text{SO}(3)$  existiert eine Orthonormalbasis  $r_1, r_2, r_3$  von  $\mathbb{R}^3$  mit  $R^T = (r_1 | r_2 | r_3)$ . Ist dann

$$\Omega = \begin{pmatrix} 0 & -\omega_z & \omega_y \\ \omega_z & 0 & -\omega_x \\ -\omega_y & \omega_x & 0 \end{pmatrix} = \omega \times (\cdot),$$

so gilt

$$\begin{aligned} \Omega' &= R\Omega R^T = R(\omega \times r_1 | \omega \times r_2 | \omega \times r_3) \\ &= \begin{pmatrix} 0 & \langle r_1, \omega \times r_2 \rangle & \langle r_1, \omega \times r_3 \rangle \\ \langle r_2, \omega \times r_1 \rangle & 0 & \langle r_2, \omega \times r_3 \rangle \\ \langle r_3, \omega \times r_1 \rangle & \langle r_3, \omega \times r_2 \rangle & 0 \end{pmatrix} = \dots = \begin{pmatrix} 0 & -\langle r_3, \omega \rangle & \langle r_2, \omega \rangle \\ \langle r_3, \omega \rangle & 0 & -\langle r_1, \omega \rangle \\ -\langle r_2, \omega \rangle & \langle r_1, \omega \rangle & 0 \end{pmatrix} = R\omega \times (\cdot) \end{aligned}$$

In  $\text{SE}(3)$  gilt damit

$$\begin{aligned} \left( \begin{array}{c|c} \Omega' & v' \\ \hline 0 & 0 \end{array} \right) &= \text{Ad} \left( \begin{array}{c|c} R & \bar{v} \\ \hline 0 & 1 \end{array} \right) \left( \begin{array}{c|c} \Omega & v \\ \hline 0 & 0 \end{array} \right) = \left( \begin{array}{c|c} R & \bar{v} \\ \hline 0 & 1 \end{array} \right) \left( \begin{array}{c|c} \Omega & v \\ \hline 0 & 0 \end{array} \right) \left( \begin{array}{c|c} R & \bar{v} \\ \hline 0 & 1 \end{array} \right)^{-1} \\ &= \left( \begin{array}{c|c} R & \bar{v} \\ \hline 0 & 1 \end{array} \right) \left( \begin{array}{c|c} \Omega & v \\ \hline 0 & 0 \end{array} \right) \left( \begin{array}{c|c} R^T & -R^T \bar{v} \\ \hline 0 & 1 \end{array} \right) \\ &= \left( \begin{array}{c|c} R\Omega R^T & Rv - R\Omega R^T \bar{v} \\ \hline 0 & 0 \end{array} \right) \end{aligned}$$

Da  $R\Omega R^T \bar{v} = (R\omega) \times \bar{v}$  gilt, folgt für

$$V = \begin{pmatrix} 0 & -v_z & v_y \\ v_z & 0 & -v_x \\ -v_y & v_x & 0 \end{pmatrix}$$

mit  $\bar{v} = (v_x, v_y, v_z)^T$  für alle  $x \in \mathbb{R}^3$ :

$$Vx = -x \times \bar{v} = \bar{v} \times x,$$

das heißt

$$-R\Omega R^T \bar{v} = -(R\omega) \times \bar{v} = VR\omega.$$

Stellt man ein Lie-Algebra-Element  $\left( \begin{smallmatrix} \Omega & V \\ 0 & 0 \end{smallmatrix} \right)$  durch  $\left( \begin{smallmatrix} \omega \\ v \end{smallmatrix} \right) \in \mathbb{R}^6$  dar, so gilt

$$\left( \begin{array}{c} \omega' \\ v \end{array} \right) = \text{Ad} \left( \begin{array}{c|c} R & \bar{v} \\ \hline 0 & 1 \end{array} \right) \left( \begin{array}{c} \omega \\ v \end{array} \right) = \begin{pmatrix} R & 0 \\ VR & R \end{pmatrix} \left( \begin{array}{c} \omega \\ v \end{array} \right)$$

### Adjungierte Darstellung der Lie-Algebren $\mathfrak{so}(3)$ und $\mathfrak{se}(3)$

Es gilt

$$\begin{aligned} \text{Ad} : G &\rightarrow \text{Aut}(\mathfrak{g}) & (g^{-1}(\cdot)g)_* &= \text{Ad}(g) \\ \text{Ad}_{*e} &= \text{ad} : \mathfrak{g} \rightarrow \text{Der}(\mathfrak{g}) & \text{ad}(X)Y &= [X, Y] \end{aligned}$$

Die Lie-Algebra  $\mathfrak{so}(3)$  von  $\text{SO}(3)$  besteht aus den schiefssymmetrischen Matrizen  $\Omega$  wie sie im letzten Abschnitt definiert wurden. Die Matrizen

$$X = \begin{pmatrix} 0 & 0 & 0 \\ 0 & 0 & -1 \\ 0 & 1 & 0 \end{pmatrix} \quad Y = \begin{pmatrix} 0 & 0 & 1 \\ 0 & 0 & 0 \\ -1 & 0 & 0 \end{pmatrix} \quad Z = \begin{pmatrix} 0 & -1 & 0 \\ 1 & 0 & 0 \\ 0 & 0 & 0 \end{pmatrix}$$

bilden eine Basis von  $\text{SO}(3)$ . Nun gilt

$$\begin{aligned} \text{ad}(X)Y &= XY - YX = \begin{pmatrix} 0 & 0 & 0 \\ 1 & 0 & 0 \\ 0 & 0 & 0 \end{pmatrix} - \begin{pmatrix} 0 & 1 & 0 \\ 0 & 0 & 0 \\ 0 & 0 & 0 \end{pmatrix} = Z \\ \text{ad}(Y)Z &= YZ - ZY = \begin{pmatrix} 0 & 0 & 0 \\ 0 & 0 & 0 \\ 0 & 1 & 0 \end{pmatrix} - \begin{pmatrix} 0 & 0 & 0 \\ 0 & 0 & 1 \\ 0 & 0 & 0 \end{pmatrix} = X \\ \text{ad}(Z)X &= ZX - XZ = \begin{pmatrix} 0 & 0 & 1 \\ 0 & 0 & 0 \\ 0 & 0 & 0 \end{pmatrix} - \begin{pmatrix} 0 & 0 & 0 \\ 0 & 0 & 0 \\ 1 & 0 & 0 \end{pmatrix} = Y, \end{aligned}$$

wobei man leicht sieht, dass  $\text{ad}(X)Y = [X, Y] = -[Y, X] = -\text{ad}(Y)X$ , und entsprechend für die übrigen Matrizen. In der Basis gilt dann

$$\text{ad}(X) = \begin{pmatrix} 0 & 0 & 0 \\ 0 & 0 & -1 \\ 0 & 1 & 0 \end{pmatrix} = X \quad \text{ad}(Y) = Y \quad \text{ad}(Z) = Z.$$

Zu  $\text{se}(3)$  betrachte die Basis

$$\begin{aligned} \omega_i &= \left( \begin{array}{c|c} X & 0 \\ \hline 0 & 0 \end{array} \right) & \omega_j &= \left( \begin{array}{c|c} Y & 0 \\ \hline 0 & 0 \end{array} \right) & \omega_k &= \left( \begin{array}{c|c} Z & 0 \\ \hline 0 & 0 \end{array} \right) \\ v_i &= \left( \begin{array}{ccc|c} 0 & 0 & 0 & 1 \\ 0 & 0 & 0 & 0 \\ 0 & 0 & 0 & 0 \\ \hline 0 & 0 & 0 & 0 \end{array} \right) & v_j &= \left( \begin{array}{ccc|c} 0 & 0 & 0 & 0 \\ 0 & 0 & 0 & 1 \\ 0 & 0 & 0 & 0 \\ \hline 0 & 0 & 0 & 0 \end{array} \right) & v_k &= \left( \begin{array}{ccc|c} 0 & 0 & 0 & 0 \\ 0 & 0 & 0 & 0 \\ 0 & 0 & 0 & 1 \\ \hline 0 & 0 & 0 & 0 \end{array} \right) \end{aligned}$$

Wie oben berechnet man mit den Kommutatoren der Basiselementen

$$\begin{aligned} \text{ad}(\omega_i) &= \begin{pmatrix} X & 0 \\ 0 & X \end{pmatrix} & \text{ad}(\omega_j) &= \begin{pmatrix} Y & 0 \\ 0 & Y \end{pmatrix} & \text{ad}(\omega_k) &= \begin{pmatrix} Z & 0 \\ 0 & Z \end{pmatrix} \\ \text{ad}(v_i) &= \begin{pmatrix} 0 & 0 \\ X & 0 \end{pmatrix} & \text{ad}(v_j) &= \begin{pmatrix} 0 & 0 \\ Y & 0 \end{pmatrix} & \text{ad}(v_k) &= \begin{pmatrix} 0 & 0 \\ Z & 0 \end{pmatrix} \end{aligned}$$

in der obigen Basis.

## 4 Exponentialabbildung

Die gewöhnliche Exponentialabbildung für Matrizen

$$\exp(X) = \sum_{n=0}^{\infty} \frac{1}{n!} X^n$$

stimmt für Matrixgruppen wie  $\text{SO}(3)$  und  $\text{SE}(3)$ , beziehungsweise ihre Lie-Algebren  $\text{so}(3)$  und  $\text{se}(3)$ , mit der Exponentialabbildung des Zusammenhanges welcher durch Paralleltransport durch die Linksmultiplikation definiert ist, überein.

Bezüglich dieses Zusammenhanges sind die Integralkurven von linksinvarianten Vektorfeldern Geodätische, das heißt  $g_t = \exp(tX)$  löst  $\dot{g}_t = g_t X$ . Es sei  $\Omega \in \text{so}(3)$  wie im letzten Abschnitt und  $\omega = (\omega_x, \omega_y, \omega_z)^T$ . Wie berechnet man  $\exp(\Omega)$ ? Zerlege  $\Omega$  (und  $\text{id}$ ) in orthogonale Idempotente:

$$\begin{aligned} \Omega^3 x &= \omega \times (\omega \times (\omega \times x)) \\ &= \langle \omega, \omega \times x \rangle \omega - \langle \omega, \omega \rangle \omega \times x \\ &= 0 - \|\omega\|^2 \omega \times x \\ &= -\|\omega\|^2 \Omega x \end{aligned}$$

Also gilt  $\Omega^3 + \|\omega\|^2 \Omega = 0$ . Setzt man

$$\begin{aligned} P_0 &= \frac{1}{\|\omega\|^2} (\Omega + i\|\omega\| \text{id}) (\Omega - i\|\omega\| \text{id}) \\ P_+ &= \frac{-1}{2\|\omega\|^2} (\Omega - i\|\omega\| \text{id}) \\ P_- &= \frac{-1}{2\|\omega\|^2} (\Omega + i\|\omega\| \text{id}) \end{aligned}$$

so gilt

$$\begin{aligned} P_0 P_+ &= P_0 P_- = P_+ P_- = 0 \\ P_0 + P_+ + P_- &= \text{id} \\ P_0^2 &= P_0, P_+^2 = P_+, P_-^2 = P_- \\ \Omega &= i\|\omega\|(P_- - P_+). \end{aligned}$$

Damit folgt

$$\Omega^n = (i\|\omega\|)^n P_- + (-i\|\omega\|)^n P_+$$

und

$$\begin{aligned} \exp(\Omega) &= \text{id} + \sum_{n=1}^{\infty} \frac{1}{n!} \Omega^n \\ &= P_0 + P_- + P_+ + \sum_{n=1}^{\infty} \frac{1}{n!} ((i\|\omega\|)^n P_- + (-i\|\omega\|)^n P_+) \\ &= P_0 + e^{i\|\omega\|} P_- + e^{-i\|\omega\|} P_+ \\ &= \dots \\ &= \text{id} + \frac{1}{2\|\omega\|} (e^{-i\|\omega\|} - e^{i\|\omega\|}) \Omega - \frac{1}{2\|\omega\|} (e^{i\|\omega\|} - e^{-i\|\omega\|} - 2) \Omega^2 \\ &= \text{id} + \frac{1}{\|\omega\|} \sin \|\omega\| \Omega + \frac{1}{\|\omega\|^2} (1 - \cos \|\omega\|) \Omega^2. \end{aligned}$$

Mit  $\vartheta = \|\omega\|$  und  $v = \frac{\omega}{\|\omega\|}$  erhält man die sogenannte **Rodrigues-Formel** für die Drehung um die Achse  $\mathbb{R} \cdot v$  mit dem Winkel  $\vartheta$ :

$$R(\vartheta, v)x = e^{\vartheta v}x = x + \sin \vartheta (v \times x) + (1 - \cos \vartheta)v \times (v \times x)$$

Analog erhält man in der Darstellung von  $\text{se}(3)$

$$S = \left( \begin{array}{c|c} \Omega & v \\ \hline 0 & 0 \end{array} \right)$$

eine Gleichung vierten Grades

$$S^4 + \|\omega\|^2 S = 0.$$

Wie oben zerlegt man  $S$  und  $\text{id}$  in Idempotente und ein Nilpotent und erhält

$$\exp(S) = \text{id} + \frac{1}{\|\omega\|} \sin \|\omega\| S + \frac{1}{\|\omega\|^2} (1 - \cos \|\omega\|) S^2.$$

In bestimmten Fällen lässt sich damit die Kinematik eines Roboters lösen. Zum Beispiel findet man damit für Roboter mit drei Gelenken (generisch) für einen Ausgangspunkt  $p_0 \in \mathbb{R}^3$  und einen Zielpunkt  $p \in \mathbb{R}^3$  Elemente  $S_1, S_2$  und  $S_3$  in  $\text{se}(3)$ , so dass

$$e^{\vartheta_1 S_1} e^{\vartheta_2 S_2} e^{\vartheta_3 S_3} \begin{pmatrix} p_0 \\ 1 \end{pmatrix} = \begin{pmatrix} p \\ 1 \end{pmatrix}$$



## 5 Clifford Algebren

Eine (reelle) **Clifford-Algebra** ist bestimmt durch die Wahl einer Basis  $e_1, \dots, e_n \in V \cong \mathbb{R}^n$  und die Relationen

- $e_i e_j + e_j e_i = 0$  für  $i \neq j$
- $e_i^2 \in \{0, +1, -1\}$

Eine Clifford Algebra ist eindeutig bestimmt durch die Anzahlen der Basiselemente, deren Quadrate 1, -1 oder 0 ergeben. Man schreibt sie dann als  $\text{Cl}(p, q, r)$

### Beispiel

Die Clifford-Algebra  $\text{Cl}(0, 1, 0)$  wird erzeugt von  $e_1$  und  $\mathbb{R}$  mit

$$\begin{aligned} e_1^2 &= -1 & (x + ye_1)(z + we_1) &= xz + ywe_1^2 + yze_1 + xwe_1 \\ & & &= (xz - yw) + (yz + xw)e_1 \end{aligned}$$

Mit einem Isomorphismus, der die Abbildungen  $e_1 \mapsto i$  und  $1 \mapsto 1$  enthält ist die Algebra isomorph zu den komplexen Zahlen, also  $\text{Cl}(0, 1, 0) \cong \mathbb{C}$

Jedes Monom von Erzeugern  $e_{i_1}, \dots, e_{i_k}$  kann als Produkt von Erzeugern  $e_{j_1}, \dots, e_{j_l}$  mit  $j_1 < j_2 < \dots < j_l$  (für  $l \leq k$ ) geschrieben werden. Diese Elemente bilden eine Vektorraum-Basis von  $\text{Cl}(p, q, r)$ , man erhält eine direkte Zerlegung

$$\text{Cl}(p, q, r) = \bigoplus_{k=0}^n V_k.$$

Insbesondere gilt  $\dim \text{Cl}(p, q, r) = 2^{(p+q+r)}$ . Diese Vektorraum-Graduierung hängt im Allgemeinen von der Wahl der Basis ab, allerdings ist die Zerlegung

$$\text{Cl}(p, q, r) = \text{Cl}(p, q, r)^- \oplus \text{Cl}(p, q, r)^+$$

in Produkte mit einer ungeraden beziehungsweise geraden Anzahl abhängig von der Wahl der Basis. Das ist eine Involution von  $\text{Cl}$  mit  $e_i \mapsto e_i^* = -e_i$  und  $(ab)^* = b^* a^*$ .

### Wo ist $\text{SO}(3)$ (euklidische Bewegungen)

Betrachte die Clifford-Algebra  $\text{Cl}(0, n, 0)$ . Dann liegt  $\mathbb{R}^n$  in  $\text{Cl}(0, n, 0)$  durch

$$\begin{aligned} \begin{pmatrix} x^1 \\ \vdots \\ x^n \end{pmatrix} &\mapsto x^1 e_1 + \dots + x^n e_n & \langle x, y \rangle &= - \sum_{i,j \leq n} x^i y^j (-\delta_{ij}) \\ & & &= -\frac{1}{2} \sum_{i,j \leq n} x^i y^j (e_i e_j + e_j e_i) \\ & & &= \frac{1}{2} (xy^* + yx^*) \end{aligned}$$

$$\delta_{ij} = \begin{cases} 1 & : i = j \\ 0 & : i \neq j \end{cases}$$

Kronecker-Delta

Betrachte die Gruppe

$$\text{Pin}(n) = \{g \in \text{Cl}(0, n, 0) \mid gg^* = 1, (-1)^{|g|} g \times g \in \mathbb{R}^n \text{ für alle } x \in \mathbb{R}^n \subseteq \text{Cl}\}$$

Die oben beschriebene Wirkung  $\text{Pin}(n) \curvearrowright \mathbb{R}$  erhält das Skalarprodukt:

$$\begin{aligned}
 & \frac{1}{2} \left( ((-1)^{|g|} g x g^*) ((-1)^{|g|} g y g^*)^* + ((-1)^{|g|} g y g^*) ((-1)^{|g|} g x g^*)^* \right) \\
 &= \frac{1}{2} \left( (-1)^{|g|} g x \underbrace{(g^* g)}_{=1} y^* (-1)^{|g|} g^* + \dots \right) \\
 &= g \left( \frac{1}{2} (x y^* + y x^*) \right) g^* \\
 &= g g^* \langle x, y \rangle = \langle x, y \rangle
 \end{aligned}$$

Damit existiert ein Homomorphismus von  $\text{Pin}(n)$  nach  $O(n)$ . Man kann zeigen, dass dieser surjektiv ist und  $\mathbb{Z}_2 := \mathbb{Z}/2\mathbb{Z}$  als Kern hat. Es gilt  $\text{Pin}(n) \cap \mathbb{R}^n = \mathbb{S}^{n-1}$ , denn

$$1 = v v^* = \frac{1}{2} (v v^* + v v^*) = \langle v, v \rangle = \|v\|^2$$

und man rechnet schnell nach, dass  $-v w v^* \in \mathbb{R}^n$  für alle  $w \in \mathbb{R}^n$ . Jedes solche  $v$  wirkt als Spiegelung an der Hyperebene  $v^\perp$ :

$$(-1)^{|v|} v (\lambda v) v^* = -\lambda v v v^* = -\lambda v$$

Ist  $w \in v^\perp$ , so gilt

$$0 = \langle w, v \rangle = \frac{1}{2} (w v^* + v w^*),$$

also

$$w v^* = -v w^* = v w$$

und es folgt

$$(-1)^{|v|} v w v^* = -v v w = v^* v w = w.$$

Fasst man Drehungen in  $\mathbb{R}^n$  als Verkettung von Spiegelungen auf, so ist klar, dass die von geraden Elemente erzeugte Untergruppe

$$\text{Spin}(n) = \{g \in \text{Cl}^+(0, n, 0) \mid g g^* = 1 \text{ und } (-1)^{|g|} g x g^* \in \mathbb{R}^n \text{ für alle } x \in \mathbb{R}^n\}$$

gerade die zweifache Überlagerung von  $\text{SO}(n)$  ist. Wir werden uns nun im Folgenden auf den Fall  $n = 3$  beschränken. Sei  $g \in \text{Cl}^+(0, 3, 0)$  mit

$$g = a_0 + a_1 e_2 e_3 + a_2 e_3 e_1 + a_3 e_1 e_2$$

und

$$\begin{aligned}
 g^* &= a_0 + a_1 (e_2 e_3)^* + a_2 (e_3 e_1)^* + a_3 (e_1 e_2)^* \\
 &= a_0 + a_1 e_3^* e_2^* + a_2 e_1^* e_3^* + a_3 e_2^* e_1^* \\
 &= a_0 + a_1 (-e_3)(-e_2) + a_2 (-e_1)(-e_3) + a_3 (-e_2)(-e_1) \\
 &= a_0 - a_1 e_2 e_3 - a_2 e_3 e_1 - a_3 e_1 e_2
 \end{aligned}$$

und damit

$$g g^* = \dots = a_0^2 + a_1^2 + a_2^2 + a_3^2$$

und man rechnet leicht nach, dass für alle  $x \in \mathbb{R}^n$  schon  $(-1)^{|g|} g x g^* \in \mathbb{R}^n$  gilt, Damit gilt

$$\text{Spin}(3) \subseteq \mathbb{S}^3 \subseteq \text{Cl}^+(0, 3, 0) = [e_2^i e_3^j, e_3^j e_1^k, e_1^k e_2^i] = \mathbb{H}$$

**Beispiel**

Die Drehung um den Winkel  $\vartheta$  um die Achse  $e_k$  wird definiert durch

$$g = \cos \frac{\vartheta}{2} + \sin \frac{\vartheta}{2} e_i e_j,$$

wobei  $k \notin \{i, j\}$  für  $i \neq j$  gelte. Damit erhält man

$$\begin{aligned} g e_k g^* &= \left( \cos \frac{\vartheta}{2} + \sin \frac{\vartheta}{2} e_i e_j \right) e_k \left( \cos \frac{\vartheta}{2} - \sin \frac{\vartheta}{2} e_i e_j \right) \\ &= \cos^2 \frac{\vartheta}{2} e_k + \cos \frac{\vartheta}{2} \sin \frac{\vartheta}{2} e_i e_j e_k - \cos \frac{\vartheta}{2} \sin \frac{\vartheta}{2} e_k e_i e_j + \sin^2 \frac{\vartheta}{2} e_i e_j e_k e_i e_j \\ &= \left( \cos \frac{\vartheta}{2} + \sin^2 \frac{\vartheta}{2} \right) e_k = e_k \\ g e_j g^* &= \left( \cos \frac{\vartheta}{2} + \sin \frac{\vartheta}{2} e_i e_j \right) e_j \left( \cos \frac{\vartheta}{2} - \sin \frac{\vartheta}{2} e_i e_j \right) \\ &= \dots = \left( \cos^2 \frac{\vartheta}{2} - \sin^2 \frac{\vartheta}{2} \right) e_j - 2 \cos \frac{\vartheta}{2} \sin \frac{\vartheta}{2} e_i \\ &= \cos \vartheta e_j - \sin \vartheta e_i \end{aligned}$$

Betrachte  $\text{Spin}(n) \times \mathbb{R}^n = \{ „g + t“ \}$ . Betrachte  $\text{Cl}(0, n, 1)$  mit den Erzeugern  $e_1, \dots, e_n$  mit  $e_i^2 = -1$ , sowie  $e$  mit  $e^2 = 0$ .  $\text{Cl}(0, n, 1)$  enthält mit  $(x^1, \dots, x^n)^T \mapsto 1 + (x^1 e_1 + \dots + x^n e_n)e$  einen  $\mathbb{R}^n$ , und die Gruppe

$$\text{Spin}(n) \times \mathbb{R}^n = \{ (g + \frac{1}{2} t g e) \in \text{Cl}(0, n, 1) \mid g \in \text{Spin}(n), t = t^1 e_1 + \dots + t^n e_n \}$$

wirkt durch

$$(g + \frac{1}{2} t g e)(1 + x e)(g - \frac{1}{2} t g e)^* = \dots = 1 + (g x g^* + t)e.$$

Das sind unsere gesuchten euklidischen Bewegungen.

**Beispiel**

Ist  $h = (g + \frac{1}{2} t g e)$  eine reine Drehung, also  $t = 0$ , so gilt

$$h(1 + x e)h^* = g(1 + x e)g^* = g g^* + g x e g^* = 1 + (g x g^*)e$$

Die letzte Gleichheit kommt daher, dass  $g$  gerade ist. Ist  $h = (1 + \frac{1}{2} t e)$  eine reine Translation, so gilt

$$\begin{aligned} (1 + \frac{1}{2} t e)(1 + x e)(1 - \frac{1}{2} t e)^* &= (1 + \frac{1}{2} t e + x e + \frac{1}{2} t e x e) \cdot (1 - \frac{1}{2} t e)^* \\ &= (1 + \frac{1}{2} t e + x e)(1 - \frac{1}{2} t e) \\ &= 1 + \frac{1}{2} t e + x e - \frac{1}{2} e t - \frac{1}{4} t e^2 t - \frac{1}{2} x e^2 t \\ &= 1 + t e + x e = 1 + (x + t)e \end{aligned}$$

## Wo ist die „Geometrie“?

Ebenen im  $\mathbb{R}^3$  sind mit einer Einheitsnormalen  $n \in \mathbb{S}^2 \subseteq \mathbb{R}^3$  und einem „Abstand“  $d$  gegeben durch

$$H_{n,d} = \{x \in \mathbb{R}^3 \mid \langle n, x \rangle = d\}.$$

Ist  $(R, v)$  eine euklidische Bewegung, so gilt

$$(R, v)H_{n,d} = \{x \mid d = \langle n, R^T x - R^T v \rangle = \langle Rn, x \rangle - \langle Rn, v \rangle\} = H_{Rn, d + \langle Rn, v \rangle}.$$

Betrachte Elemente vom Grad 1 in  $\text{Cl}(0, 3, 1)$ , also  $\pi = n_x e_1 + n_y e_2 + n_z e_3 + de$ . Für  $n = (n_x, n_y, n_z)^T$  gilt genau dann  $\|n\| = 1$ , falls  $\pi\pi^* = 1$ . Ist  $h = g + \frac{1}{2}tge$  eine euklidische Bewegung, so gilt

$$\begin{aligned} h\pi h^* &= \left(g + \frac{1}{2}tge\right)(n + de)\left(g - \frac{1}{2}tge\right)^* = \dots \\ &= gng^* + \left(d - \frac{1}{2}(gng^*t + tgn g^*)\right)e, = -\langle Rn, v \rangle. \end{aligned}$$

Im Gegensatz zu den vorangehenden Betrachtungen werden jetzt „geometrische“ **Punkte** *nicht* als Grad 1 Elemente in  $\text{Cl}(0, 3, 1)$  modelliert, sondern wie folgt: Ein Punkt ist von der Form

$$p = e_1 e_2 e_3 + x e_2 e_3 e + y e_3 e_1 e + z e_1 e_2 e.$$

Die ist äquivalent (bis auf Vorzeichen) zu  $pp^* = 1$ . Die Wirkung von  $\text{Spin}(3) \times \mathbb{R}^3$  (beziehungsweise  $\text{SE}(3)$ ) ist wieder gegeben durch

$$\left(g + \frac{1}{2}tge\right)p\left(g - \frac{1}{2}tge\right).$$

Im  $\mathbb{R}^3$  ist eine **Gerade**  $L$  durch einen Punkt  $p \in L$  und eine Richtung  $v \in \mathbb{R}^3$  gegeben. In  $\text{Cl}(0, 3, 1)$  ist dann die entsprechende Gerade gegeben durch

$$L = (v_x e_2 e_3 + v_y e_3 e_1 + v_z e_1 e_2) + (u_x e_1 e + u_y e_2 e + u_z e_3 e)$$

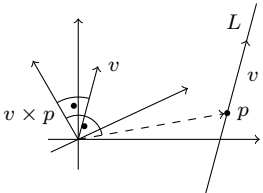
mit  $u = (u_x, u_y, u_z)^T = p \times v$ . Dies ist äquivalent zu  $ll^* = 1$ . Die Wirkung ist durch Konjugation gegeben.

Durch die Relation  $x \wedge y = -y \wedge x$  für  $x, y \in \mathbb{R}^n$  erhält man die äußere Algebra  $\bigwedge \mathbb{R}^n$  über  $\mathbb{R}^n$ . Diese findet sich wie folgt in der Clifford Algebra wieder: Sind  $x \in \mathbb{R}^n$  und  $c \in \text{Cl}$ , so sind

$$x \wedge c = \frac{1}{2}(xc + (-1)^{|c|}cx) \quad c \wedge x = \frac{1}{2}(cx + (-1)^{|c|}xc).$$

Die  $\mathbb{R}$ -lineare und assoziative Einbettung ergibt ein (weites) Produkt in  $\text{Cl}$ . Für Basiselemente  $e_i, e_j \in \mathbb{R}^n$  gilt:

$$e_i \wedge e_j = \frac{1}{2}(e_i e_j - e_j e_i) = \begin{cases} 0 & i = j \\ -e_j \wedge e_i & i \neq j \end{cases}.$$



Damit erhält Cl die äußere Algebra. Für  $i \neq j$  gilt ferner

$$e_i \wedge e_j = \frac{1}{2}(e_i e_j - e_j e_i) = \frac{1}{2}(e_i e_j + e_i e_j) = e_i e_j.$$

Betrachte das äußere Produkt eines Punktes  $p = e_1 e_2 e_3 + x e_2 e_3 e + y e_3 e_1 e + z e_1 e_2 e$  und einer Ebene  $\pi = n_x e_1 + n_y e_2 + n_z e_3 + d e$ . Dann gilt

$$\pi \wedge p = \frac{1}{2}(\pi p - p \pi) = (x n_x + y n_y + z n_z - d) e_1 e_2 e_3 e.$$

Damit liegt genau dann der Punkt  $p$  in der Ebene  $\pi$ , wenn  $\pi \wedge p = 0$  gilt. Analog zeigt man, dass eine Gerade  $l$  genau dann in einer Ebene  $\pi$  liegt, wenn  $\pi \wedge l = 0$  gilt. Der Ausdruck  $l \wedge p$  verschwindet (formal), da  $\text{Grad } l \wedge p > 4$ . Ein Punkt  $p$  liegt jedoch genau dann auf einer Geraden  $l$ , wenn  $p l^* + l p^* = 0$  gilt.

Allgemeiner lässt sich der Schnitt zweier geometrischer Objekte mit Hilfe des äußeren Produktes charakterisieren: Es seien  $\pi_1$  und  $\pi_2$  zwei Ebenen. Dann ist jedenfalls  $\pi_1 \wedge \pi_2$  ein Grad 2 Element. Es bleibt zu zeigen, dass das eine Gerade definiert, also die Bedingung  $l l^* = 1$  erfüllt ist. Es gilt

$$(\pi_1 \wedge \pi_2) = \frac{1}{2}(\pi_1 \pi_2 + (-1)^{|\pi_2|} \pi_2 \pi_1) = \frac{1}{2}(\pi_1 \pi_2 - \pi_2 \pi_1),$$

also

$$\begin{aligned} (\pi_1 \wedge \pi_2)(\pi_1 \wedge \pi_2)^* &= \frac{1}{4}(\pi_1 \pi_2 - \pi_2 \pi_1)(\pi_1 \pi_2 - \pi_2 \pi_1)^* \\ &= \frac{1}{4}(\pi_1 \pi_2 - \pi_2 \pi_1)(\pi_2 \pi_1 - \pi_1 \pi_2) \\ &= \frac{1}{4}(\pi_1 \pi_2 \pi_2 \pi_1 + \pi_2 \pi_1 \pi_1 \pi_2 - \pi_2 \pi_1 \pi_2 \pi_1 - \pi_1 \pi_2 \pi_1 \pi_2) \\ &= \frac{1}{4}(2 - \pi_2 \pi_1 \pi_2 \pi_1 - \pi_1 \pi_2 \pi_1 \pi_2) \end{aligned}$$

Man rechnet nach, dass sich alle Grad 4 Terme aufheben, und dass keine Grad 1 oder Grad 2 Terme auftreten, da  $(\pi_1 \wedge \pi_2)(\pi_1 \wedge \pi_2)^*$  selbstadjungiert ist. Damit ist

$$l = \frac{\pi_1 \wedge \pi_2}{\sqrt{\pm(\pi_1 \wedge \pi_2)(\pi_1 \wedge \pi_2)^*}}$$

eine Gerade. Wegen  $\pi_1 \wedge (\pi_1 \wedge \pi_2) = 0 = \pi_2 \wedge (\pi_1 \wedge \pi_2)$  ist  $l$  in  $\pi_1$  und  $\pi_2$  enthalten. Analog zeigt man, dass sowohl das äußere Produkt  $p$  einer Geraden  $l$  und einer Ebene  $\pi$  mit

$$p = \frac{l \wedge \pi}{\sqrt{\pm(l \wedge \pi)(l \wedge \pi)^*}},$$

als auch das äußere Produkt dreier Ebenen  $p = \frac{1}{(\dots)} \pi_1 \wedge \pi_2 \wedge \pi_3$  einen Punkt ergeben.

## Anwendung

Die inverse Kinematik eines Roboters mit sechs Gelenken ist lösbar, falls drei aufeinanderfolgende Drehachsen entweder einen gemeinsamen Schnittpunkt haben (Piper 1968) oder parallel sind (Duffy 1980). Die inverse Kinematik ist gegeben durch

$$k(\vartheta) = a_1(\vartheta_1) a_2(\vartheta_2) \dots a_6(\vartheta_6),$$